



FOTO 9019

Dique de diabasa cortando micaesquistos andalucíticos. Cº de  
acceso a El Cabril



FOTO 9026 a

Pliegues de tendencia cilíndrica sobre capas de cuarcita alter-nantes con micaesquistos. Sucesión Albariza-Bembézar.



FOTO 9026 b

Micaesquistos moscovíticos  
con dos lineaciones: crenulación con fuerte "plunge"  
al SE y lineación de intersección (?).

Sucesión Albariza-Bembézar

FOTO 9028  
Micaesquisto moscovítico con biotita, andalucita y estaurolita.  
Sucesión Albariza-Bembézar.

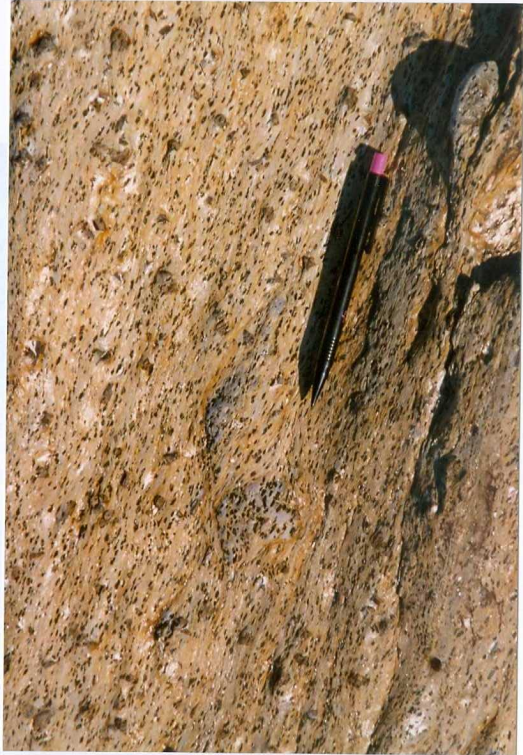




FOTO 9029

Pliques asimétricos de charnela aguada; "plunge" de eje alto al SE. Sucesión Albariza-Bembézar.



FOTO 9030

Pliegue isoclinal de charnela gruesa sobre  
gneises leucocráticos de granofino. Sucesión  
Cabril-Peña Grajera



FOTO 9031

Vista panorámica de la cantera Peña-Grajera. Se observa el contacto neto entre genises biotíticos y pegmatita.



detalle de grandes secciones de  
rocas sedimentarias de alturas de 100  
a 200 m de altura.

FOTO 9032

Vista panorámica de la corte del Cerro de la Sal. Al fondo  
las crestas de Sierra Albarrana.



FOTO 9033

Detalle de grietas de tensión sobre capas cuarcíticas en alternancia con gneises ocelares. Cerro de la Sal.



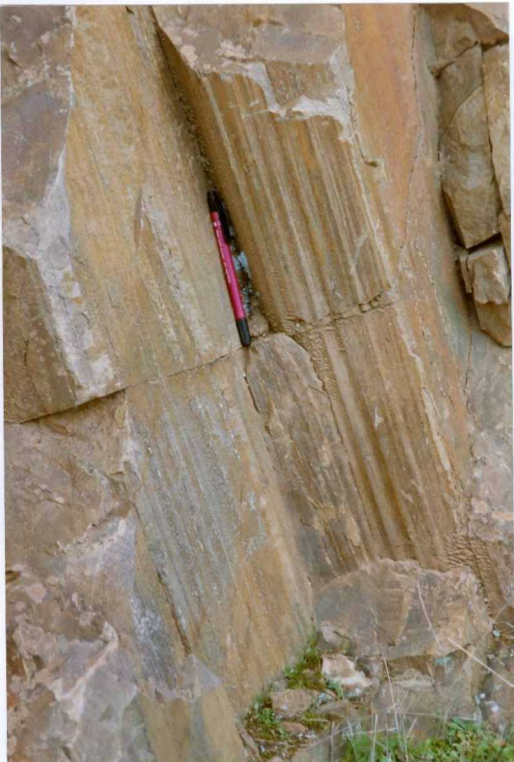
FOTO 9036 a

Pliques vergentes al NE en niveles de cuarcita alternando con micaesquistos. Desembocadura del río Onza. Sucesión - Albariza-Bembézar.



FOTO 9036 b, c

Detalle de la fotografía 9036 a. Se observa el estilo de los pliegues y las relaciones So-Sp.



9038-Parte de lajas.

FOTO 9038

Detalle de fuerte lineación sobre cuarcitas feldespáticas. El "plunge" es alto hacia el S. Sucesión Albarrana.



FOTO 9039

Boudins ligeramente rotacionales con cuellos rellenos de cuarzo. Gneises cuarzo-feldespáticos de la Sucesión Cabril-Peña Grajera.

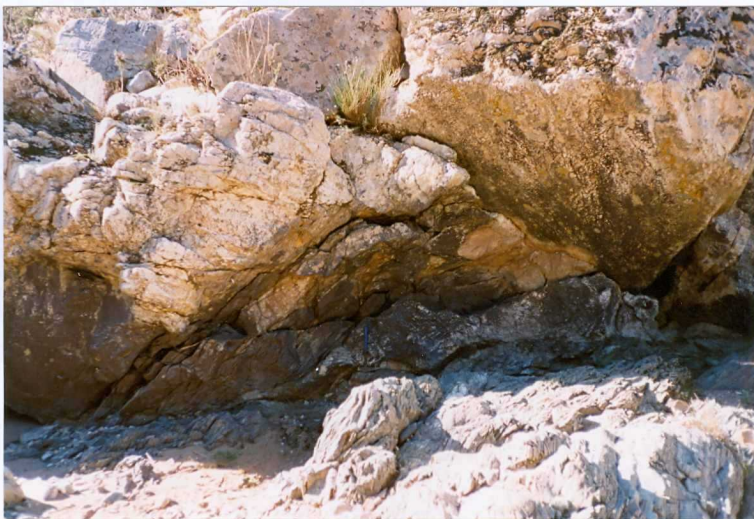


FOTO 9040

Detalle del contacto por falla entre cuarcitas feldes-páticas supra de la sucesión Albarrana y gneises ocelares de la sucesión Cabril-Peña Grajera infra. Aparece banda cataclástica de espesor decimétrico.



FOTO 9041

Fractura de sentido sinestroso y escaso salto.  
Cuarcitas feldespáticas de la sucesión Albarra  
na.



FOTO 9043

Zona de fractura con alteración de plástica  
Tendido a las rocas feldespáticas. Sucesión Albarrana

FOTO 9043

Cuarcitas feldespáticas afectadas por S de  
fractura subvertical. Sucesión Albarrana.



FOTO 9045

Zona de fractura con mineralización de pirita afectando a cuarcitas feldespáticas. Sucesión Albarrana



horizontal de microcristales en cuarcitas. La base del surco es más de arenolita. Canto a la Garganta, sucesión Albarra.

#### FOTO 9046

Laminación cruzada en surco en posición normal. (Techo sedimentario al NE). Cuarcitas feldespáticas junto a Presa del Cabril. Sucesión Albarra.



FOTO 9047

Lineación horizontal de micropliegues en cuarcitas feldespáticas en el contacto con dique de anfibolita. Junto a la Presa de El Cabril. Sucesión Albarrana.



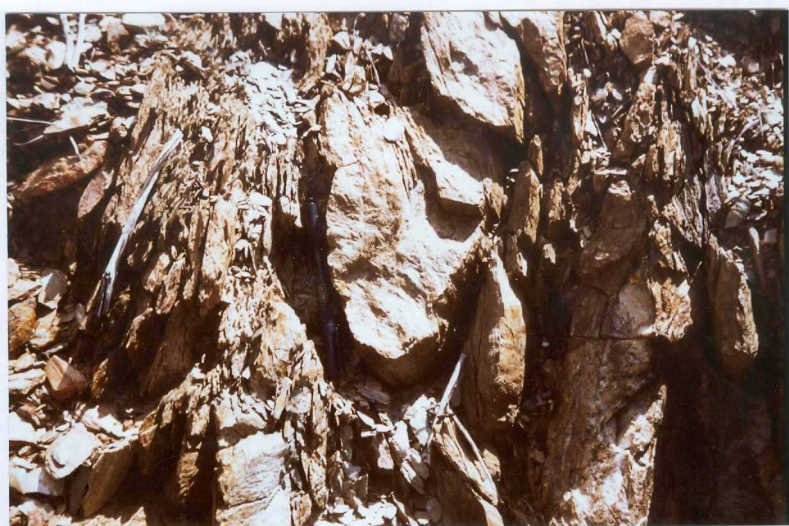
FOTO 9107

Pliegue isoclinal en metaarcosas intercaladas en micaesquistos con andalucita-estaurolita. Sucesión Albariza-Bembézar.



FOTO 9911

Detalle de trasposición de capas cuarcíticas en la Sucesión Albariza-Bembezar, muy generalizada en toda ella, debido a la intensidad de la esquistosidad del primer episodio hercínico.



9912-0012

DETALLE DEL FENÓMENO DE TRASPOSICIÓN DE LA ESQUISTOSIDAD DEL PRIMER

EPISODIO HERCINICO SOBRE UNA CHARNELA DESENRAIZADA, LA CUAL ES

ATRAVESADA (BOLÍGRAFO) POR LOS PLANOS DE Dicha ESQUISTOSIDAD.

SUCESIÓN ALBARIZA-BEMBEZAR CON BAJO GRADO DE METAMORFISMO.

FOTO 9912

Detalle del fenómeno de trasposición de la esquistosidad del primer episodio hercínico sobre una charnela desenraizada, la cual es atravesada (bolígrafo) por los planos de dicha esquistosidad. Sucesión Albariza-Bembezar con bajo grado de metamorfismo.



FOTO 9913

Detalle de estructuración de la Sucesión Albariza-Bembézar, en el que se puede apreciar como la esquistosidad principal (primera hercínica) traspone un microliton de cuarcita en el que se puede observar la esquistosidad prehercínica plegada (ver disposición de las dos referencias de escala).



FOTO 9914

Detalle de los materiales de alto grado de metamorfismo de la Sucesión Albariza-Bembezar. Se puede observar cómo la esquistosidad principal debida al 1er episodio hercínico, engloba microlitones y blastos (andalucita) ya estructurados por el episodio de deformación prehercínico



FOTO 9915

Afloramiento del conglomerado de la base de la fm. Azuaga. Conviene resaltar las malas condiciones de afloramiento de estos niveles.



FOTO 9916

Detalle del conglomerado de base de la Fm. Azuaga

en la hoja



FOTO 9917

Pliegues menores y trasposiciones en niveles laminados de la Fm. Azuaga, causados por el primer episodio de deformación hercínica. En los pliegues menores se puede apreciar el estilo de plegamiento de este episodio, con la esquistosidad asociada de plano axial.



FOTO 9918

Estilo de plegamiento del segundo episodio hercínico (3<sup>a</sup> fase en la hoja).



FOTO 9919

Afloramiento de la Falla de La Patuda-Casa de Adelfilla, en el que se puede observar la brecha en régimen frágil, así como la vergencia hacia el NE del Salto de la falla.



FOTO 9920

Detalle de la zona de brecha (izda foto) fosilizada por los  
sedimentos carboníferos



FOTO 9921

Borde meridional de la Cuenca de Valdeinfierro. Fractura sinse-dimentaria que incorpora bloques brechoides de la falla en los conglomerados carboníferos